

ЭКСПЕРИМЕНТАЛЬНОЕ ОПРЕДЕЛЕНИЕ ЭНЕРГИИ  
АКТИВАЦИИ ОБРАЗОВАНИЯ ВОЗБУЖДЕННЫХ РАДИКАЛОВ  
В АЦЕТИЛЕНО-ВОЗДУШНОМ ПЛАМЕНИ  
НИЗКОГО ДАВЛЕНИЯ

Л. Н. Глушко, В. И. Твердохлебов

(Днепропетровск)

В спектре излучения углеводородных пламен обычно содержатся полосы, принадлежащие радикалам OH, C<sub>2</sub>, CH. Как известно, гидроксил играет очень важную роль в процессе горения, роль радикалов C<sub>2</sub> и CH еще достоверно не установлена. В. Н. Кондратьев [1] считает, что они, несомненно, имеют важное значение в процессе горения углеводородных топлив. Возможные механизмы образования возбужденных радикалов были предложены в работах [2—4] и др. Для установления истинных механизмов образования радикалов полезную услугу может оказать знание энергии активации образования возбужденных радикалов. Кроме того, знание энергии активации процессов хемилюминесценции и хемионизации позволит установить действующие связи между этими процессами. Об энергии активации образования возбужденных радикалов в пламенах имеются весьма ограниченные сведения и представлены они только работами [5, 6]. Возбуждение радикалов происходит в реакциях типа:



где R<sub>1</sub> — радикал; R\* — возбужденный радикал; A и B — молекулы, атомы или радикалы.

Возбужденные радикалы могут дезактивироваться в столкновениях с молекулами, поэтому при составлении материального баланса возбужденных радикалов следует учитывать процесс тушения. На основе метода стационарных концентраций можно написать:

$$W = \frac{1}{\tau} [R^*] + v p [R^*], \quad (2)$$

где W — скорость образования возбужденного радикала R\*; [R\*] — концентрация; τ — радиационное время жизни; v — частота соударений; p — множитель, величина которого зависит от сечения процесса дезактивации.

Хотя нам достоверно не известны механизмы образования возбужденных радикалов, можно формально воспользоваться законом Аррениуса, если рассматривать небольшие интервалы температур:

$$W = Z e^{-\frac{E}{RT}}, \quad (3)$$

где  $Z$  — предэкспоненциальный множитель;  $E$  — эффективная энергия активации;  $T$  — абсолютная температура;  $R$  — универсальная газовая постоянная.

Из уравнений (2) и (3) получается следующее выражение для концентрации возбужденных радикалов:

$$[R^*] = \frac{Z}{\frac{1}{\tau} + v p} e^{-\frac{E}{RT}}. \quad (4)$$

Так как в наших опытах применялась горелка плоского пламени, то связь между измеряемой интенсивностью  $I$  и концентрацией возбужденных радикалов  $[R^*]$  можно представить в виде:

$$I = k[R^*]dvS, \quad (5)$$

где  $k$  — коэффициент пропорциональности;  $d$  — глубина излучающей области;  $v$  — скорость пламени;  $S$  — площадь сечения пламени.

Если спектр регистрируется фотографическим методом, тогда в равенстве (5) лучше перейти от интенсивности к количеству освещения —  $H = It$ . Умножив обе части равенства (5) на  $t$  и приняв во внимание, что  $vSt = V$ , получим:

$$H = k[R^*]dV, \quad (6)$$

где  $V$  — объем горючей смеси, прошедшей через фронт пламени за время экспозиции  $t$ . Подставив значение  $[R^*]$  из уравнения (4) в уравнение (6) и прологарифмировав последнее, окончательно получим:

$$\ln H = C - \frac{E}{RT}, \quad (7)$$

где  $C$  — постоянная, объединяющая постоянные уравнений (4) и (6) и те величины, которые в проведенных опытах остаются неизменными. Вариация температуры пламени осуществлялась за счет изменения скорости пламени. Но изменение скорости  $v$  сопровождалось изменением времени экспозиции  $t$ , причем  $vt$  сохранялось постоянным.

Горение ацетилено-воздушного пламени осуществлялось в барокамере (рис. 1), изготовленной в виде цилиндра с диаметром 30 см и высотою 45 см. В нижней части камеры располагалась горелка плоского пламени. Камера и горелка охлаждались проточной водой. Предварительно составленная горючая смесь подавалась в горелку через регулировочный вентиль  $B$ . Постоянство скорости подачи горючей смеси контролировалось реометром. Расход горючей смеси и скорость горения определялись по изменению объема газа в газгольдере. Горючая смесь поджигалась с помощью генератора постоянного тока типа «Орех».

Кварцевая линза, вмонтированная в окно камеры, фокусировала излучение светящейся зоны пламени на щель спектрографа. Спектрограммы получали на фотопластинках «изоортокроматические», чувствительностью 90 ед. ГОСТа. Обработка спектрограмм производилась обычными методами спектрофотометрии с помощью микрофотометра МФ-2.

С изменением скорости подачи горючей смеси в горелку происходит также изменение температуры газов пламени. В наших условиях изменение скорости примерно в 2 раза приводило к изменению температуры пламени на  $200^{\circ}$  К. Температурные профили светящейся зоны пламени измерялись с помощью платина-платинородиевой (10% Rh) термопары (рис. 2), которая помещалась в центре пламени вертикально. Необходимость прибегнуть к сложной конструкции используемой термопары вызвана тем, что слишком тонкие длинные проволочки легко сдуваются потоком и термопару не удается точно фиксировать. С помощью электромотора термопара могла перемещаться по высоте пламени. Внутри камеры была укреплена шкала, по которой отмечались положения термопары. Для наблюдения за термопарой и ее местоположением применялся катетометр. Совмещение профилей интенсивностей кантов полос и температурных профилей производилось следующим образом. На щель спектрографа были нанесены две реперные точки. В

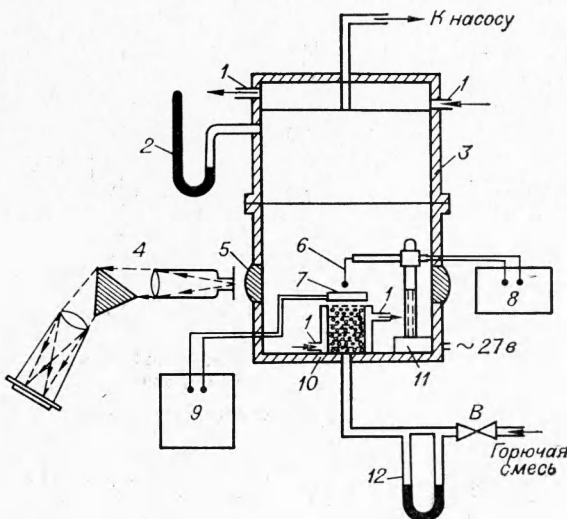


Рис. 1. Схема установки.

1 — система охлаждения; 2 — манометр; 3 — бакрекамера; 4 — спектрограф; 5 — кварцевая линза; 6 — термопара; 7 — плоскопараллельные электроды; 8 — потенциометр постоянного тока; 9 — генератор постоянного тока; 10 — горелка диаметром 60 мм, высотой 100 мм; 11 — электромотор; 12 — реометр.

тальной трубе катетометра одновременно наблюдались эти реперные точки и королек термопары. На спектрограммах реперные точки давали две тонкие светлые линии. Такой несложный прием позволял довольно точно совмещать температурные профили и профили интенсивностей кантов полос. Для учета радиационных потерь термопары применялся «нуль-метод».

Изменения интенсивности и температуры по высоте светящейся зоны пламени показаны на рис. 3. Максимумы интенсивности полос радикалов OH, CH и C<sub>2</sub> не совпадают. Наложение на реакционную зону пламени высокочастотного разряда и разряда постоянного тока не изменяет этой последовательности максимумов излучения. В пламени, усиленном разрядом, наблюдается изменение величины максимумов интенсивности излучения, но расстояния между максимумами остаются неизменными, это, видимому, потому, что в реакционной зоне пламени существует строгая последовательность элементарных процессов.

На рис. 4 представлена типичная кривая зависимости  $\lg H$  от  $1/T$ . Следует отметить, что экспериментальные точки хорошо укладываются на прямой. Но такая благополучная картина наблюдается только в

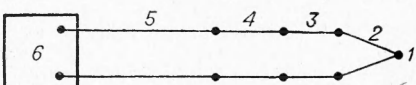


Рис. 2. Схема устройства термопары.  
1 — спай диаметром 0,006 см; 2, 3, 4 — платиновая и платинородиевая проволочки диаметром 0,0045, 0,01 и 0,02 см соответственно; 5 — медные соединительные проводники; 6 — потенциометр постоянного тока.

максимумах интенсивности. По мере удаления от максимума в ту или другую сторону отмечается значительный разброс точек.

В таблице собраны результаты измерения эффективной энергии активации образования возбужденных радикалов  $\text{CH}$ ,  $\text{C}_2$  и  $\text{OH}$ . В таблицу внесены значения энергий активации, определенные в области максимальных значений интенсивности излучения соответствующих радикалов. Ошибка измерения составляет 10%.

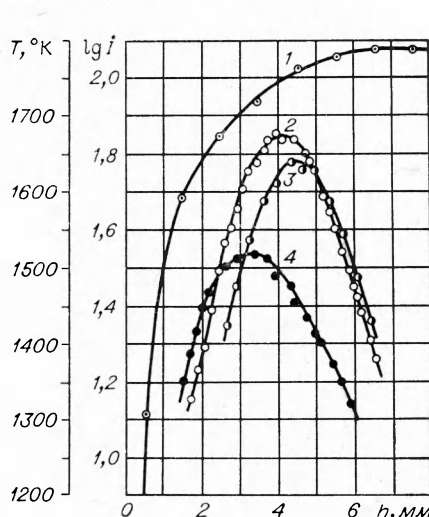


Рис. 3. Распределение температуры и интенсивности излучения радикалов по высоте пламени.  
1 — температурный профиль; 2, 3, 4 — профили интенсивности кантов полос  $\text{CH}$  (4315 Å),  $\text{OH}$  (3064 Å) и  $\text{C}_2$  (5165 Å) соответственно.

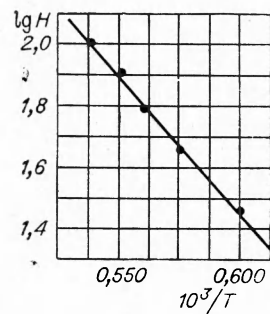


Рис. 4. График зависимости  $\lg H$  от  $1/T$  для канта полосы радикала  $\text{CH}$  при 4315 Å.

Интересно сравнить полученные результаты с результатами работы [5], где в ацетилено-кислородном пламени даны следующие значения энергии активации:  $\text{CH} 4315 \text{ \AA}$  — 40 ккал/моль,  $\text{C}_2 4737 \text{ \AA}$  — 45 ккал/моль и  $\text{OH} 3064 \text{ \AA}$  — 22 ккал/моль. Эти значения энергии активации близки к нашим значениям. В работах [5—7] для изменения температуры пламени прибегали к разбавлению горючей смеси инертным разбавителем. Как отмечает в своей монографии А. С. Соколик [8], такой метод вызывает некоторое недоверие из-за того, что разбавление не только изменяет температуру пламени, но и приводит к изменению парциальных давлений реагирующих компонентов и, следовательно, частоты столкновений.

#### Эффективная энергия активации образования возбужденных радикалов $E$ , ккал/моль

$\gamma$	$\text{CH} 4315 \text{ \AA}$	$\text{CH} 3900 \text{ \AA}$	$\text{C}_2 5165 \text{ \AA}$	$\text{C}_2 4737 \text{ \AA}$	$\text{C}_2 5635 \text{ \AA}$	$\text{OH} 3064 \text{ \AA}$
1	41,5	40,4	35,6	35,4	33	18,6
0,73	38,5	—	—	—	—	18,4

Van Тиггелен и сотрудники при определении энергии активации пользовались некоторой условной средней температурой зоны реакции

$$T = T_0 + 0,74 (T_{\max} - T_0), \quad (8)$$

где  $T_0$  — начальная температура газовой смеси;  $T_{\max}$  — максимальная

температура пламени. Возможно, что в их опытах эта температура совпадала с действительной температурой газов пламени в тех точках, где расположены максимумы интенсивностей излучения СН и ОН. В пользу возможности такого предположения говорит удовлетворительное согласие результатов Ван Тиггелена и наших результатов для этих радикалов. Но для радикала  $C_2$  расхождение в энергии активации составляет около 10 ккал/моль. Как видно из рис. 3, максимум интенсивности излучения  $C_2$  находится в области пламени с более низкой температурой, чем максимум интенсивности излучения радикалов СН и ОН. Вполне понятно, что замена действительной температуры в уравнении (7) температурой более высокой приведет к завышенным значениям энергии активации.

Измерения энергии активации образования возбужденных радикалов Ван Тиггеленом и нами производились разными методами и при разных условиях горения пламен. Поэтому вряд ли можно ожидать в таком сопоставлении полного совпадения результатов.

Следует отметить, что полученные данные об энергии активации образования возбужденных радикалов могут принести весьма большую пользу для выяснения механизмов хемилюминесценции и хемионизации в углеводородных пламенах.

Поступила в редакцию  
14/VI 1967

#### ЛИТЕРАТУРА

1. В. Н. Кондратьев. Спектроскопическое изучение химических газовых реакций. М.—Л., Изд-во АН СССР, 1944.
2. А. Гейдон. Спектроскопия пламен. ИЛ, 1959.
3. C. W. Hand, G. B. Kistiakowsky. J. Chem. Phys., 1962, **37**, 1239.
4. R. E. Ferguson. J. Chem. Phys., 1955, **23**, 2085.
5. A. Van Tiggelen, A. Fengier. Rev. Institut franc. pétrole, 1965, 1135.
6. J. Vaerma, G. Nenquin, A. Van Tiggelen. Bull. Soc. Chim. Belg., 1956, **65**, 435.
7. G. Nenquin, P. Thomas, A. Van Tiggelen. Bull. Soc. Chim. Belg., 1956, **65**, 1072.
8. А. С. Соколик. Самовоспламенение пламен и детонация в газах, М., Изд-во АН СССР, 1960.